

非平衡統計力学

Toroid153846

2025 年 4 月 24 日

1 マルコフジャンプ過程

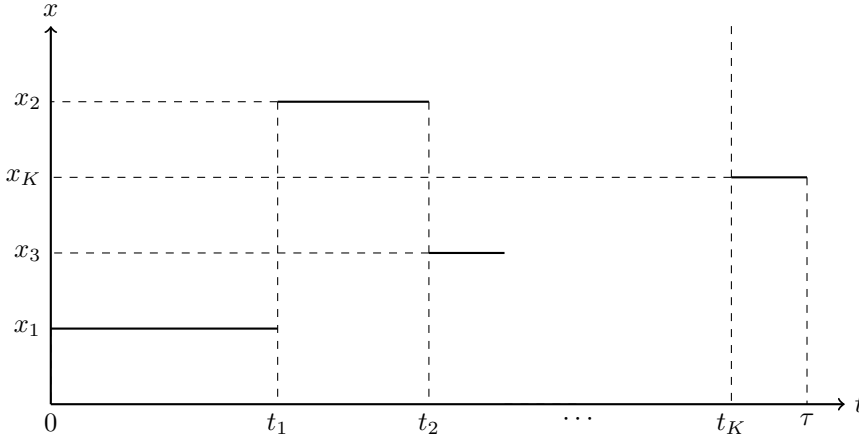
1.1 系の設定

着目系とその系と相互作用する熱浴 $\nu = 1, 2, \dots, n$ がある。

マルコフジャンプ過程での着目系の時間 0 から τ までの時間発展を考える。

操作プロトコル $\lambda_\tau = \{\lambda(t)\}_{t=0}^\tau$ は操作パラメーター (磁場などエネルギー準位を変化させる) の時間変化を示す。

下のように時間 $t_k (k = 1, \dots, K$ であり $0 < t_1 < t_2 < \dots < t_K < \tau$ を満たす) において熱浴 ν_k による着目系の状態の遷移 ($x_{k-1} \rightarrow x_k$) が K 回起こった経路を $\mathbf{x}_\tau = \{x(t)\}_{t=0}^\tau$ とする。



1.2 いくつかの物理量の定義

時刻 t において状態 x にある確率を $P(x, t)$ とする。

最初に状態 x にあったときに x' に時間 t から $t + dt$ の間に遷移する条件付き確率を $R_\nu(x' | x; t) dt$ とする。

x から x' へ流れる全体における確率は $(R(x' | x; t)P(x, t) - R(x | x'; t)P(x', t)) dt$ と表され、確率流を

$$J(x' | x; t) := R(x' | x; t)P(x, t) - R(x | x'; t)P(x', t)$$

と定義する。

1.3 「流れ」の物理量に関して

2つの状態 x と x' と熱浴 ν において定義される「流れ」の物理量 $D_{x',x}^\nu$ について

$$D_{x',x}^\nu = -D_{x,x'}^\nu$$

のような反対称性を満たす。

ここで、経路 \mathbf{x}_τ においてその物理量 D による経路の関数を次のように定義する。

$$\hat{\mathcal{J}}_D[\mathbf{x}_\tau, \boldsymbol{\lambda}_\tau] = \sum_{k=1}^K D_{x_k, x_{k-1}}^{\nu_k}$$

定義からわかる通り実際には経路 \mathbf{x}_τ には状態の遷移 ($x_{k-1} \rightarrow x_k$) の原因である熱浴 ν_k の情報が含まれている。

ここで、この経路の関数を時間 t の関数として表すと

$$\hat{\mathcal{J}}_D[\mathbf{x}_\tau, \boldsymbol{\lambda}_\tau](t) = \sum_{\{k|t_k \leq t\}} D_{x_k, x_{k-1}}^{\nu_k}$$

したがって、

$$\hat{\mathcal{J}}_D[\mathbf{x}_\tau, \boldsymbol{\lambda}_\tau](t) = \sum_{k=1}^K D_{x_k, x_{k-1}}^{\nu_k} \delta(t - t_k) \quad (1)$$

として時間微分を定義できる。

(1) 式を用いて、流れの積分 $\hat{\mathcal{J}}_D$ の時間微分の経路積分した値 $J_D(t)$ を求めてみる。

まず経路積分と確率の定義から (経路積分の定義はゆらぐ系の熱力学 齊藤 圭司から)

$$\int \mathcal{D}\mathbf{x}_\tau = \sum_{K=0}^{\infty} \sum_{\{x_k\}_{k=0}^K} \sum_{\{\nu_k\}_{k=1}^K} \int_{0 < t_1 < \dots < t_K < \tau} dt_1 \dots dt_K$$

$$P[\mathbf{x}_\tau, \boldsymbol{\lambda}_\tau] = P(x_0, 0) \exp \left(- \int_0^\tau dt \gamma(x(t), t) \right) \prod_{k=1}^K R_{\nu_k}(x_k | x_{k-1}; t_k)$$

これを用いて、

$$\begin{aligned}
J_D(t) &= \langle \hat{\mathcal{J}}_D(t) \rangle \\
&= \int \mathcal{D}\mathbf{x}_\tau \hat{\mathcal{J}}_D[\mathbf{x}_\tau, \boldsymbol{\lambda}_\tau](t) P[\mathbf{x}_\tau | \boldsymbol{\lambda}_\tau] \\
&= \sum_{K=0}^{\infty} \sum_{\{x_k\}_{k=0}^K} \sum_{\{\nu_k\}_{k=1}^K} \int_{0 < t_1 < \dots < t_K < \tau} dt_1 \dots dt_K \sum_{k'=1}^K D_{x_{k'}, x_{k'-1}}^{\nu_{k'}} \delta(t - t_{k'}) \\
&\quad \times P(x_0, 0) \exp\left(-\int_0^\tau dt \gamma(x(t), t)\right) \prod_{k=1}^K R_{\nu_k}(x_k | x_{k-1}; t_k) \\
&= \sum_{K=0}^{\infty} \sum_{k'=1}^K \sum_{\{x_k\}_{k=0}^K} \sum_{\{\nu_k\}_{k=1}^K} \int_{0 < t_1 < \dots < t_{k'-1} < t < t_{k'+1} < \dots < t_K < \tau} dt_1 \dots dt_{k'-1} dt_{k'+1} \dots dt_K D_{x_{k'}, x_{k'-1}}^{\nu_{k'}} \\
&\quad \times P(x_0, 0) \exp\left(-\int_0^\tau dt \gamma(x(t), t)\right) \prod_{1 \leq k \leq K, k \neq k'} R_{\nu_k}(x_k | x_{k-1}; t_k) R_{\nu_{k'}}(x_{k'} | x_{k'-1}; t) \\
&= \sum_{K=0}^{\infty} \sum_{k'=1}^K \sum_{\{x_k\}_{k=0}^{k'}} \sum_{\{\nu_k\}_{k=1}^{k'}} \int_{0 < t_1 < \dots < t_{k'-1} < t} dt_1 \dots dt_{k'-1} D_{x_{k'}, x_{k'-1}}^{\nu_{k'}} \\
&\quad \times P(x_0, 0) \exp\left(-\int_0^t dt \gamma(x(t), t)\right) \prod_{k=1}^{k'-1} R_{\nu_k}(x_k | x_{k-1}; t_k) R_{\nu_{k'}}(x_{k'} | x_{k'-1}; t) \\
&\quad \times \sum_{\{x_k\}_{k=k'+1}^K} \sum_{\{\nu_k\}_{k=k'+1}^K} \int_{t < t_{k'+1} < \dots < t_K < \tau} dt_{k'+1} \dots dt_K \\
&\quad \times \exp\left(-\int_t^\tau dt \gamma(x(t), t)\right) \prod_{k=k'+1}^K R_{\nu_k}(x_k | x_{k-1}; t_k) \\
&= \sum_{K=0}^{\infty} \sum_{k'=1}^K \sum_{\{x_k\}_{k=0}^{k'}} \sum_{\{\nu_k\}_{k=1}^{k'}} \int_{0 < t_1 < \dots < t_{k'-1} < t} dt_1 \dots dt_{k'-1} D_{x_{k'}, x_{k'-1}}^{\nu_{k'}} \\
&\quad \times P(x_0, 0) \exp\left(-\int_0^t dt \gamma(x(t), t)\right) \prod_{k=1}^{k'-1} R_{\nu_k}(x_k | x_{k-1}; t_k) R_{\nu_{k'}}(x_{k'} | x_{k'-1}; t) \\
&= \sum_{K=0}^{\infty} \sum_{k'=1}^K \sum_{\{x_k\}_{k=0}^{k'}} \sum_{\{\nu_k\}_{k=1}^{k'}} \int_{0 < t_1 < \dots < t_{k'-1} < t} dt_1 \dots dt_{k'-1} \\
&\quad \times P(x_0, 0) \exp\left(-\int_0^t dt \gamma(x(t), t)\right) \prod_{k=1}^{k'-1} R_{\nu_k}(x_k | x_{k-1}; t_k) \\
&\quad \times D_{x_{k'}, x_{k'-1}}^{\nu_{k'}} R_{\nu_{k'}}(x_{k'} | x_{k'-1}; t) \\
&= \sum_x P(x, t) \sum_{\nu, x' (\neq x)} D_{x', x}^\nu R_\nu(x' | x; t) \\
&= \sum_{\nu, x' \neq x} R_\nu(x' | x; t) P(x, t) D_{x', x}^\nu
\end{aligned} \tag{2}$$

この式の計算に関して、上から2行目から3,4行目は定義を代入し、3,4行目から5,6行目は $t_{k'}$ によるデルタ関数の積分を行って t_k と t が入れ替え、5,6行目から7,8,9,10行目は定数である t を用いて積分区間を分け、7,8,9,10行目から11,12行目では9,10行目が0から τ の積分経路を t から τ までで切り取った経路について

1 を積分しているので初期状態である x_k がどんな値を取っても 1 となるため 9,10 行目に相当する部分が消えている。13,14,15 行目から 16 行目は 13,14 行目が時刻 t において状態 $x_{k'-1}$ を取るような確率であるためこのような結果となる。

これは確かに文献に書いてあった通りの表式である。この $J_D(t)$ に関して「流れ」の物理量の具体例を見てみる。

1.4 「流れ」の物理量の具体例

1 つ目

特定の 2 つの状態 $x_0, x'_0 (x_0 \neq x'_0)$ として、 $D_{x'_0, x_0}^\nu = -D_{x_0, x'_0}^\nu = 1$ であり、他は $D_{x, x'}^\nu = 0$ であるとする。このとき、 $J_D(t)$ は次のように表される。

$$\begin{aligned} J_D(t) &= \sum_{\nu, x' \neq x} R_\nu(x' | x; t) P(x, t) D_{x', x}^\nu \\ &= \sum_{\nu} (R_\nu(x'_0 | x_0; t) P(x_0, t) - R_\nu(x_0 | x'_0; t) P(x'_0, t)) \end{aligned}$$

これは、 x_0 から x'_0 への確率流を表している。

2 つ目

状態 x に対して定義されるある物理量 A_x に対して、 $D_{x', x}^\nu = A_{x'} - A_x$ と定義すると反対称性を満たす。このとき、 $J_D(t)$ は次のように表される。

$$\begin{aligned} J_D(t) &= \sum_{\nu, x' \neq x} R_\nu(x' | x; t) P(x, t) D_{x', x}^\nu \\ &= \sum_{\nu, x' \neq x} R_\nu(x' | x; t) P(x, t) (A_{x'} - A_x) \\ &= \sum_{\nu, x' \neq x} R_\nu(x' | x; t) P(x, t) A_{x'} - \sum_{\nu, x' \neq x} R_\nu(x' | x; t) P(x, t) A_x \\ &= \sum_{\nu, x' \neq x} R_\nu(x' | x; t) P(x, t) A_{x'} - \sum_{\nu, x \neq x'} R_\nu(x | x'; t) P(x', t) A_{x'} \\ &= \sum_{\nu, x' \neq x} (R_\nu(x' | x; t) P(x, t) - R_\nu(x | x'; t) P(x', t)) A_{x'} \\ &= \sum_{x'} \sum_{\nu, x (\neq x')} (R_\nu(x' | x; t) P(x, t) - R_\nu(x | x'; t) P(x', t)) A_{x'} \\ &= \sum_{x'} \frac{\partial P(x', t)}{\partial t} A_{x'} \\ &= \frac{d}{dt} \left(\sum_{x'} P(x', t) A_{x'} \right) \\ &= \frac{dA(t)}{dt} \end{aligned}$$

この式の上から 6 行目から 7 行目はマスター方程式を用いている。また、 $A(t)$ は物理量 A_x の期待値とした。

1.5 熱力学不定性関係

熱力学不定性関係の主張は次のように表される。

確率分布 $P(x, t)$ と遷移確率密度 $R(x', x; t)$ は時間に依存しないとする。(熱平衡状態とは限らない、定常状態である)

$$\sigma \geq 2 \frac{\langle \hat{\mathcal{J}}_D \rangle^2}{\langle \Delta \hat{\mathcal{J}}_D^2 \rangle}$$

時間に依存する一般の場合については、操作プロトコル $\lambda = \lambda(vt)$ として

$$\sigma \geq 2 \frac{(\tau J_D(\tau) - v \frac{\partial}{\partial v} \langle \hat{\mathcal{J}}_D \rangle)^2}{\langle \Delta \hat{\mathcal{J}}_D^2 \rangle}$$

短時間の $\tau \rightarrow 0$ の場合について考える

$$\begin{aligned} \langle \Delta \hat{\mathcal{J}}_D^2 \rangle &= \langle \hat{\mathcal{J}}_D^2 \rangle - \langle \hat{\mathcal{J}}_D \rangle^2 \\ &= \langle \hat{\mathcal{J}}_D^2 \rangle - \tau^2 \langle \dot{\mathcal{J}}_D \rangle^2 + \mathcal{O}(\tau^3) \\ &= \tau \left\langle \frac{d(\hat{\mathcal{J}}_D^2)}{dt} \right\rangle - \tau^2 \langle \dot{\mathcal{J}}_D \rangle^2 + \mathcal{O}(\tau^3) \end{aligned}$$

$\left\langle \frac{d(\hat{\mathcal{J}}_D^2)}{dt} \right\rangle$ の値を経路積分を用いて計算してみる。

$$\begin{aligned} \hat{\mathcal{J}}_D^2[\mathbf{x}_\tau, \lambda_\tau](t) &= \sum_{\{k_1 | t_{k_1} \leq t\}} D_{x_{k_1}, x_{k_1-1}}^{\nu_{k_1}} \sum_{\{k_2 | t_{k_2} \leq t\}} D_{x_{k_2}, x_{k_2-1}}^{\nu_{k_2}} \\ &= \sum_{\{k_1 | t_{k_1} \leq t\}} \sum_{\{k_2 | t_{k_2} \leq t\}} D_{x_{k_1}, x_{k_1-1}}^{\nu_{k_1}} D_{x_{k_2}, x_{k_2-1}}^{\nu_{k_2}} \end{aligned}$$

これを用いて、

$$\begin{aligned} \frac{d\hat{\mathcal{J}}_D^2[\mathbf{x}_\tau, \lambda_\tau](t)}{dt} &= \sum_{k'=1}^K \delta(t - t_{k'}) \left(\sum_{k_1=1}^{k'} \sum_{k_2=1}^{k'} D_{x_{k_1}, x_{k_1-1}}^{\nu_{k_1}} D_{x_{k_2}, x_{k_2-1}}^{\nu_{k_2}} - \sum_{k_1=1}^{k'-1} \sum_{k_2=1}^{k'-1} D_{x_{k_1}, x_{k_1-1}}^{\nu_{k_1}} D_{x_{k_2}, x_{k_2-1}}^{\nu_{k_2}} \right) \\ &= \sum_{k'=1}^K \delta(t - t_{k'}) \left(2D_{x_{k'}, x_{k'-1}}^{\nu_{k'}} \sum_{k_1=1}^{k'-1} D_{x_{k_1}, x_{k_1-1}}^{\nu_{k_1}} + (D_{x_{k'}, x_{k'-1}}^{\nu_{k'}})^2 \right) \end{aligned}$$

これを用いて、経路積分を行うと

$$\begin{aligned}
\left\langle \frac{d\hat{\mathcal{J}}_D^2(t)}{dt} \right\rangle &= \int \mathcal{D}\mathbf{x}_\tau \frac{d\hat{\mathcal{J}}_D^2[\mathbf{x}_\tau, \boldsymbol{\lambda}_\tau](t)}{dt} P[\mathbf{x}_\tau | \boldsymbol{\lambda}_\tau] \\
&= \sum_{K=0}^{\infty} \sum_{\{x_k\}_{k=0}^K} \sum_{\{\nu_k\}_{k=1}^K} \int_{0 < t_1 < \dots < t_K < \tau} dt_1 \dots dt_K \sum_{k'=1}^K \delta(t - t_{k'}) \left(2D_{x_{k'}, x_{k'-1}}^{\nu_{k'}} \sum_{k_1=1}^{k'-1} D_{x_{k_1}, x_{k_1-1}}^{\nu_{k_1}} + (D_{x_{k'}, x_{k'-1}}^{\nu_{k'}})^2 \right) \\
&\quad \times P(x_0, 0) \exp \left(- \int_0^\tau dt \gamma(x(t), t) \right) \prod_{k=1}^K R_{\nu_k}(x_k | x_{k-1}; t_k) \\
&= \sum_{K=0}^{\infty} \sum_{\{x_k\}_{k=0}^K} \sum_{\{\nu_k\}_{k=1}^K} \int_{0 < t_1 < \dots < t_K < \tau} dt_1 \dots dt_K \sum_{k'=1}^K \delta(t - t_{k'}) 2D_{x_{k'}, x_{k'-1}}^{\nu_{k'}} \\
&\quad \times \sum_{k_1=1}^{k'-1} D_{x_{k_1}, x_{k_1-1}}^{\nu_{k_1}} P(x_0, 0) \exp \left(- \int_0^\tau dt \gamma(x(t), t) \right) \prod_{k=1}^K R_{\nu_k}(x_k | x_{k-1}; t_k) \\
&\quad + \sum_{K=0}^{\infty} \sum_{\{x_k\}_{k=0}^K} \sum_{\{\nu_k\}_{k=1}^K} \int_{0 < t_1 < \dots < t_K < \tau} dt_1 \dots dt_K \sum_{k'=1}^K \delta(t - t_{k'}) (D_{x_{k'}, x_{k'-1}}^{\nu_{k'}})^2 \\
&\quad \times P(x_0, 0) \exp \left(- \int_0^\tau dt \gamma(x(t), t) \right) \prod_{k=1}^K R_{\nu_k}(x_k | x_{k-1}; t_k) \\
&\stackrel{?}{=} \sum_{\nu, x' \neq x} R_\nu(x' | x; t) P(x, t) (D_{x', x}^\nu)^2 + \mathcal{O}(t)
\end{aligned}$$

1 行目から 2,3 行目は定義を代入し、4,5,6,7 行目から 8 行目は 6,7 行目は (2) 式と同様に計算して 8 行目の第 1 項となり、4,5 行目についてはわからないが、恐らく 8 行目第 2 項になるだろうと考えている。